

云中冰晶尺度谱特征与分布函数

陈万奎 严采葵

(人工影响天气研究所)

提 要

本文给出了我国北方混合性、冷性层状云中冰晶(直径范围 $18\text{--}334\mu\text{m}$)尺度谱分布特征和分布函数。冰晶尺度谱可归纳为单调下降和非单调下降两大类型,分布函数可用指数关系系 $N = N_0 \exp[-\lambda D]$ 来拟合,相关显著水平 $\alpha < 0.01$ 的样本,占本文统计的样本99%以上。

冷性云中,谱分布参数 N_0 和 λ 随云中温度降低而增大,在云中温度 $T < -10^\circ\text{C}$ 时,增大更为明显。谱分布参数 N_0 和 λ 之间可用幂指数关系 $N_0 = \sigma_1 \lambda^{\beta_1}$ 来拟合,相关显著水平 $\alpha < 0.01$ 。系数 σ_1 、 β_1 与云中是否有冰晶繁生过程有关。

一、前言

云中冰晶($18\mu\text{m} \leq D \leq 334\mu\text{m}$)形状、数浓度、尺度谱分布是研究云微物理结构、降水机制的重要资料。国外观测表明,云中冰晶数浓度可比同温度下冰核数浓度高1—3个量级^[1]。云中这些冰晶通过什么途径产生?增长方式是什么?尺度谱分布类型如何?这些带根本性的问题无疑有待于对云中冰核、核化机制、冰晶增长方式、冰晶形状和尺度谱分布、繁生机制和荷电特性的精细观测和深入研究。

国内对云中冰晶常用观测方法是将厚度 $\sim 10^0 - 10^4\mu\text{m}$ 铝箔,平放在海绵胶衬垫上,利用飞机速度使冰晶撞击在铝箔上留下印痕,再用显微镜辨认其形状、大小、数目。按如下公式 $N(D_i) = n(D_i) / (V \cdot S \cdot \Delta t)$ 算出直径 D_i 的数浓度 $N(D_i)$,式中 $n(D_i)$ 、 V 、 S 、 Δt 分别是冰晶数目、飞机飞行速度、铝箔读数面积、铝箔取样时间。由于铝箔厚度、质量好坏、衬垫硬度等不同,可清晰辨认的最小冰晶尺度约 $100\mu\text{m}$ 左右。小于

$100\mu\text{m}$ 的冰晶因动量小,撞击在铝箔上的印痕多不清楚,而且易被雪花印痕覆盖而无法辨认。由于铝箔上辨认和读数困难,1982年前国内冰晶资料很少,可靠性也较差,直径在 $18\text{--}100\mu\text{m}$ 的冰晶资料几乎没有。

1982年国家气象局装备了一架专用多用途云物理探测飞机,其中机载二维云粒子(2D-C)探头^[2]可连续测量云中冰晶形状、尺度、数浓度(有冰、水鉴别装置)。可测量粒子尺度下限是 $18\mu\text{m}$,上限是 $813\mu\text{m}$,上下限间等分为32个测量间隔,每间隔 $25\mu\text{m}$,取样率范围是0.5—7帧/秒。本文分析了内蒙古(1982年7月8日)、陕西(1983年5月24日)混合性层状云和新疆(1982年11月11日)冷性层状云中冰晶尺度谱特征、分布函数形式及分布参数,以及它们和云型、云中温度的关系。

二、冰晶尺度谱特征和分布函数

3次降水层状云共取得417份云中冰晶资料。内蒙古、新疆冰晶形状以枝状、星状和不定形粒子为主,陕西以针状和鞘状为主,

典型形状见图1。当粒子尺度接近可测下限大小时，粒子形状和相态难于分辨，但可以通过一维探头来补充判断，如用前向散射粒子谱仪(FSSP-100)所测的18—47 μm 粒子数浓度和2D-C测的18—43 μm 粒子数浓度比较来大致确定是冰粒子还是水粒子。

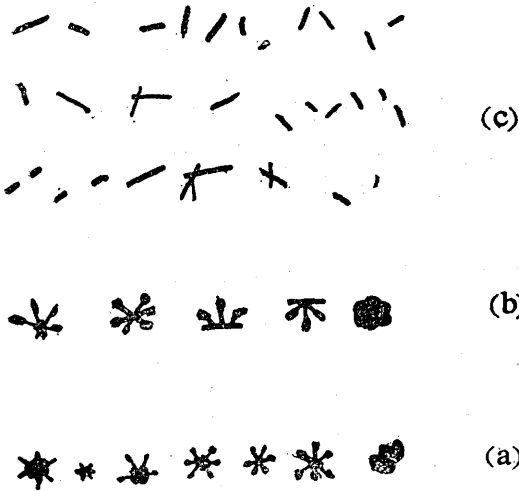


图1 云中冰晶二维图象
a新疆冷云 b内蒙古混合云 c陕西混合云

云中冰晶尺度谱可归纳为两种类型：冰晶密度 $N(D_i)$ 随直径 D_i 增大而单调减小和非单调减小型。前者谱分布峰值在25 μm 处，仅当 $D_i \geq 200\mu\text{m}$ 时， $N(D_i)$ 时起时伏，这类型谱占大多数，称作单调下降谱。非单调下降谱型除数密度 $N(D_i)$ 在25 μm 处出现主峰外，还在50—125 μm 处出现第二峰值， $D_i \geq 200\mu\text{m}$ 时， $N(D_i)$ 亦常有起伏，这类型谱多在低冰晶浓度时出现。单调下降和非单调下降平均谱绘于图2。单调下降平均谱和非单调下降平均谱中，瞬时偶尔相应出现非单调和单调下降谱。

从谱分布看，单调下降和非单调下降谱差异是明显的，谱分布函数是相近的，用指数关系 $N(D) = N_0 \exp[-\lambda D]$ 拟合，相关系

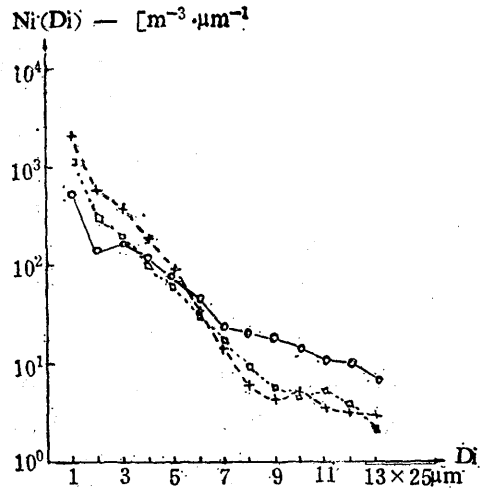


图2 云中冰晶尺度谱分布类型
○—○陕西混合云 ($-25 \leq T \leq 2.0^\circ\text{C}$)
+—+新疆冷云 ($-7.6 \leq T \leq -3.0^\circ\text{C}$)
□……□内蒙古混合云 ($-5.5 \leq T \leq -3.0^\circ\text{C}$)

数绝大多数大于0.9，本文列出的417份资料中，414份资料相关显著水平 $\alpha < 0.01$ ，占总数99%以上，仅有3份资料 α 值介于0.1—0.02间，只占总数0.7%。

$\alpha < 0.01$ 的414份资料谱分布参数 N_0 和 λ ，在各温度层中平均值 \bar{N}_0 和 $\bar{\lambda}$ 变化范围、变异系数列于表1。从表1看出：参数 λ 变化范围（指 λ 最大值和最小值）小， λ 的变异系数 $\frac{S_\lambda}{\bar{\lambda}}$ 亦小， S_λ 是 λ 的标准偏差。而参数 N_0 变化范围大， N_0 最大值比最小值高出1—2个量级， N_0 的变异系数 $\frac{S_{N_0}}{\bar{N}_0}$ 亦大， S_{N_0} 是 N_0 的标准偏差。混合云参数平均值 \bar{N}_0 、 $\bar{\lambda}$ 明显低于冷云。

三、冰晶谱分布参数与温度、云型的关系

1. 冷云

分布参数平均值 \bar{N}_0 和 $\bar{\lambda}$ 随云中温度降低而趋于增大，当云中温度降到一定界限

表1 $\alpha < 0.01$ 冰晶谱分布参数变化范围、平均值和变异系数

观测地区	降水云性质	温度范围 (°C)	样本数	N_0 (cm^{-4})			λ (cm^{-4})		
				变化范围	平均值	变异系数	变化范围	平均值	变异系数
新疆	冷云	-4.0--3.0	72*	1.29--89.78	18.40	0.62	110.0--415.0	231.0	0.21
		-3.0--5.5	41	4.25--78.47	17.62	0.73	146.0--346.0	217.0	0.20
		-5.5--7.6	41	3.34--49.04	17.35	0.60	151.0--383.0	233.0	0.19
		-3.0--7.6	82	3.34--78.47	17.49	0.66	146.0--383.0	220.0	0.19
		-7.6--10.3	72	1.51--79.76	19.79	0.89	121.0--462.0	262.0	0.36
		-10.3--11.8	52	4.53--120.32	32.17	0.79	170.0--450.0	318.0	0.23
内蒙古	混合云	0--3.0	38	0.12--32.19	9.48	0.85	83.0--255.0	181.0	0.24
		-3.0--6.9	59	0.29--47.51	8.58	1.09	95.0--245.0	179.0	0.19
陕西	混合云	0--3.0	39	0.94--17.10	7.09	0.60	98.0--266.0	158.0	0.26

* -4--3°C层是主体云-3--11.8°C层下逆温中的低云

(本文是-10°C)后, \bar{N}_0 和 $\bar{\lambda}$ 增大明显。如冷云个例, 在-3--5.5°C层和-5.5--7.6°C层中, \bar{N}_0 、 $\bar{\lambda}$ 均十分接近, 而在-10--11.8°C层, \bar{N}_0 、 $\bar{\lambda}$ 明显增大。

\bar{N}_0 、 $\bar{\lambda}$ 随云中温度降低而增大表明: 云中冰晶谱分布随云中温度降低而趋于变窄、变陡。为证明这一点, 我们作出了各种大小冰晶尺度 D_i 出现的频率分布和它们出现的时间序列。图3是不同直径的冰晶在不同温度下出现的样本数与总样本数的百分比, 记

为 $F(D_i)$ 。图4是不同直径的冰晶在不同温度下出现的时间序列分布。

从图3、4看出: 较小的冰晶粒子在各温度层中都是连续出现的, 较大的冰晶粒子在各温度层中是间断出现的, 出现频率 $F(D_i)$ 随粒子增大而降低, 另一方面大的冰晶粒子出现频率随温度降低而趋于减小。这一观测事实表明, 在云中较低温度层, 小的冰晶粒子 ($18 \leq D_i \leq 138 \mu\text{m}$) 占优势, 较大冰晶粒子没有大量形成, 时有时无。当较低温度层冰晶下落到较暖的冷层中, 由于凝华、淞附、冰雪晶碰连等原因, 使冰晶不断长大, 如在-7.6--3.0°C层, 连续出现的冰晶最大直径已由 $138 \mu\text{m}$ 增大到 $163 \mu\text{m}$ 。大于 $163 \mu\text{m}$ 的冰晶虽然仍是间断出现, 但出现频率 $F(D_i)$ 已比-11.8--7.6°C层明显增大, 其中雪晶折裂繁生也起了重要作用〔3〕。

2. 混合云

由于没有探测到更低温度层冰晶, 仅就在0--6.9°C层中冰晶谱分布作简单分析。在该层中, 谱参数平均值 \bar{N}_0 和 $\bar{\lambda}$ 在0--3°C和-3--6.9°C层中变化不大, \bar{N}_0 各为 9.48 和 8.58cm^{-4} , $\bar{\lambda}$ 各为 181 和 179cm^{-1} 。

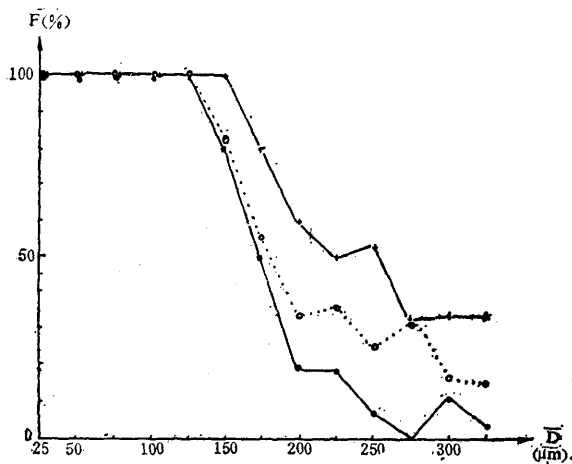


图3 新疆冷云中不同大小冰晶出现的百分比 $F(D_i)$

+ — + 表示云中温度 -3--7.6°C
 o o 表示云中温度 -7.6--10.3°C
 ● — ● 表示云中温度 -10.3--11.8°C

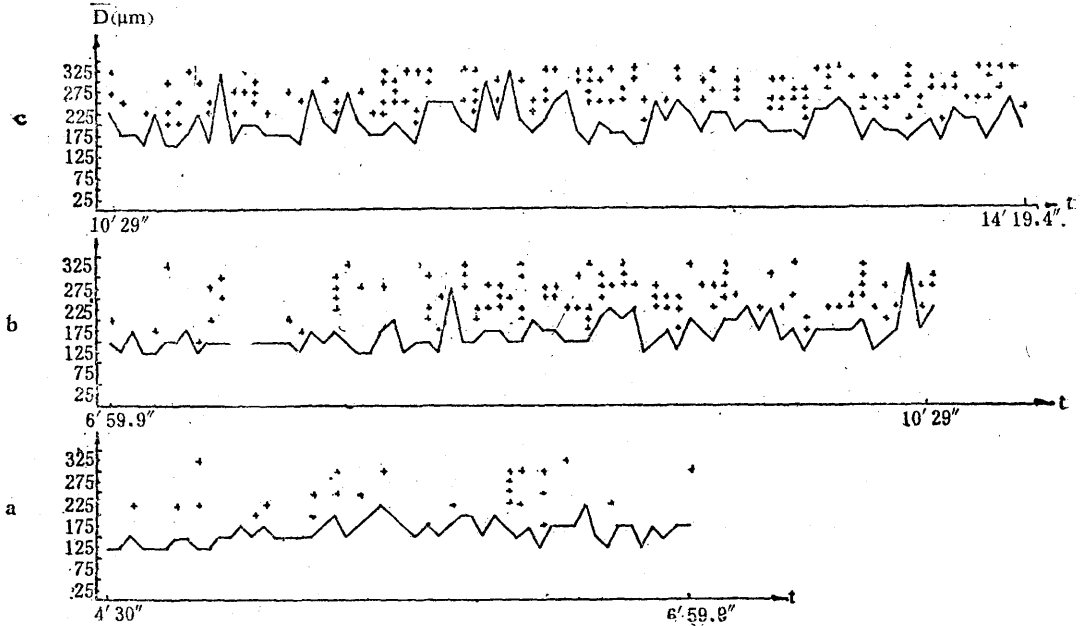


图4 新疆冷云中不同大小冰晶出现的时间序列

+表示间断不连续出现、折线表示连续出现,横坐标是时间(观测时间)对应的云中温度, a为 $-11.8 \sim -10.3^{\circ}\text{C}$, b为 $-10.3 \sim -7.6^{\circ}\text{C}$, c为 $-7.6 \sim -3^{\circ}\text{C}$

3. 冷云和混合云平均谱参数比较

同在 $-3 \sim -5.5^{\circ}\text{C}$ 层中,冷云中 \bar{N}_0 、 $\bar{\lambda}$ 比混合云中 \bar{N}_0 、 $\bar{\lambda}$ 大,其中 $18 \sim 163\mu\text{m}$ 的冰晶数浓度,冷云比混合云每升高出40.3个,而较大冰晶粒子($163 \sim 338\mu\text{m}$)的数浓度很接近,混合云比冷云高出0.2个/升。就此来看,混合云中小冰晶少,较大冰晶略多于冷云,表明混合云中冰晶生长条件优于冷云。

四、谱分布参数 N_0 与 λ 之间的关系

在云降水数值模拟计算中,常采用双参数(N_0 、 λ)来描述降水粒子谱分布^[6],若把 N_0 视作常数,将歪曲实际谱分布。从本文表1列出数据看出 N_0 并非常数,它和 λ 有相关趋势,和雪花、雨滴谱分布参数间关系一样^[5]用幂指数 $N_0 = \sigma_1 \lambda^{\beta_1}$ 来拟合各实测值,结果列于表2。从表2看出: N_0 和 λ

间有正相关关系,相关显著性水平 $\alpha < 0.01$ 。在既没有枝状折裂繁生,又没有Hallett-Mossop繁生的陕西混合云中 α_1 值最大,新疆冷云为次,有Hallett-Mossop繁生的内蒙古混合云 α_1 最小。 β_1 值是内蒙古最大,其次为新疆和陕西,但它们之间无量级差异,这与 α_1 明显不同。

五、小结

1. $18 \sim 338\mu\text{m}$ 冰晶尺度谱分布函数可用 $N = N_0 \exp[-\lambda D]$ 来拟合,其相关显著性水平 $\alpha < 0.01$ 的比值在99%以上。

2. 在 $0 \sim -11.8^{\circ}\text{C}$ 层状云中,谱分布参数 λ 变化范围是 $88.0 \sim 462.0\text{cm}^{-1}$,最大最小值间无量级差异。而谱参数 N_0 变化范围大,最小值为0.12,最大值为 120.32cm^{-4} ,最大、最小值间可差3个量级。

3. 在 $0 \sim -7.6^{\circ}\text{C}$ 层中,冷云、混合云中

表2 谱分布参数的相关关系 ($N_0 = \sigma_1 \lambda^{\beta_1}$)

云的性质	观测地区 (观测日期)	温度层 (°C)	相关系数 R	σ_1	β_1
冷云	新疆 (1984.12.1)	-11--15	0.757	4.10×10^{-4}	1.56
冷云	新疆 (1982.11.11)	-10.3--11.8	0.606	4.84×10^{-4}	1.89
		-7.6--10.3	0.855	1.83×10^{-5}	2.45
		-3--7.6	0.734	3.06×10^{-5}	2.43
		-4--3	0.814	1.36×10^{-4}	2.16
混合云	内蒙古 (1982.7.8)	-3--6.9	0.841	4.11×10^{-10}	4.48
		0--3	0.849	1.00×10^{-10}	4.75
混合云	陕西 (1983.5.24)	0--3	0.656	2.01×10^{-8}	1.59

分布参数 N_0 、 λ 各自变化范围是相近的, 平均值也各自接近。在冷云中, 当云中温度低于 -10°C 时, N_0 、 λ 变化范围和平均值明显增大, 它反应了冰晶谱分布在低温下变窄、变陡。

4. 谱分布参数 N_0 和 λ 间可用幂指数关系 $N_0 = \sigma_1 \lambda^{\beta_1}$ 来拟合, 其相关显著水平 $\alpha < 0.01$, 参数 α_1 值变化有量级差异, 看来和冰晶繁生过程有关, β_1 值变化不大。

参考文献

- [1] Hobbs. P. V., Ice multiplication in clouds, J. A. S., 26, p375, 1969.
- [2] 人工影响天气研究所, "2D-C"说明书, 1982.
- [3] 陈万奎, 枝状雪花碰连攀附与折裂繁生, 气象科学研究院院刊, Vol.2, 1, 1987.
- [4] Hallett. J., S. C. Mossop., Production of secondary ice particles during the riming process, Nature, 249, p26-28, 1974.
- [5] 陈万奎, 融化层附近降水粒子微物理特征的个例分析, 气象科学研究院院刊, Vol.2, 2, 1987.
- [6] 许焕斌等, 一维时变雹云模式研究(一), 气象学报, 43卷1期 13-25, 1985.

The size distribution of ice crystals within clouds

Chen Wankui Yan Caifan

(Institute of Weather Modification, A. M. S.)

Abstract

The size distribution and distribution function of ice crystals within mixed and cold cloud in Inner-Mongolia, Shan Xi, and Xin Jiang region were given. The size distribution of ice crystals may be classified to mono-decreasing type and non-mono-decreasing type. The size distribution function may be fitted with exponential formula $N(D) = N_0 \exp(-\lambda D)$. Samples of correlation significance level $\alpha < 0.01$ hold 99% or more of total samples. Within cold cloud distribution parameters N_0 and λ increase with cloud temperature decreases. While at $T < -10^\circ\text{C}$ layer, N_0 and λ increase apparently. We proposed the correlation relation between the N_0 and λ in the form of $N = \sigma \lambda^{\beta}$.